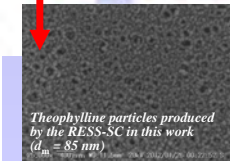
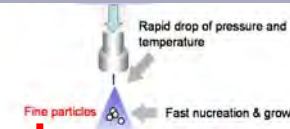


超臨界流体部会 第13回サマースクール(2014年8月4日, 熱海)

超臨界流体を利用した材料合成および反応制御技術～基礎から応用まで～

超臨界二酸化炭素のマテリアルデザイン場としての溶媒特性とナノマテリアル創製への応用

Supercritical CO₂ solutions
(Supercritical CO₂ + Co-solvent + Solute)



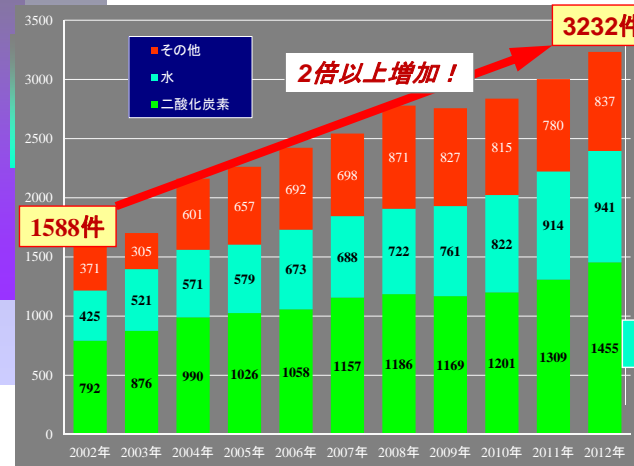
信州大学 学術研究院 工学系
工学部 物質工学科
内田 博久

超臨界二酸化炭素のマテリアルデザイン場としての溶媒特性

講演内容

1. はじめに
2. 超臨界二酸化炭素のマテリアルデザイン場としての溶媒特性
3. 超臨界溶体急速膨張 (RESS) 法による有機ナノ粒子創製に対する固体共溶媒効果の有用性
4. マイクロ空間での超臨界貧溶媒添加晶析 (SAS) 法による有機ナノ粒子創製
5. おわりに

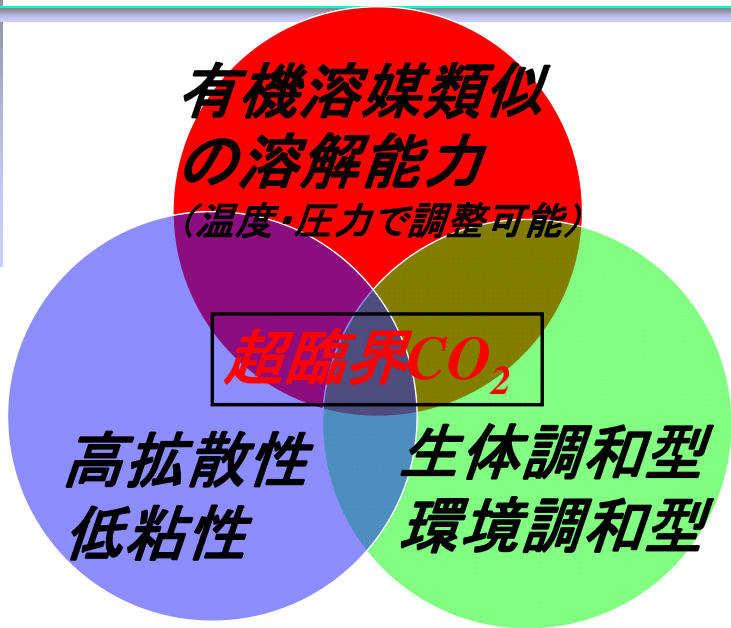
世界の超臨界流体関連研究の動向



超臨界二酸化炭素を利用した研究報告の約1/3は材料製造・処理に関するもの。

超臨界流体に関する研究の論文発表数の10年間の動向
(Web of Knowledgeによる検索結果)

超臨界二酸化炭素の特徴



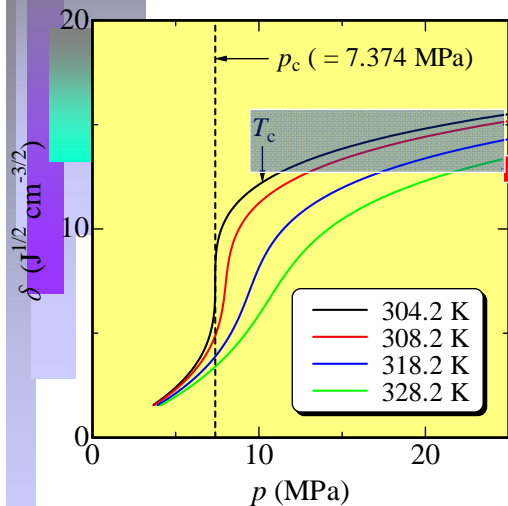
超臨界流体のマクロ物性

気体, 液体, 超臨界流体のマクロ物性値

物性	気体	超臨界流体	液体
密度 (kg m ⁻³)	0.6 ~ 2.0	300 ~ 900	600 ~ 1600
粘度 × 10 ⁶ (Pa · s)	1 ~ 3	1 ~ 9	20 ~ 300
動粘度 × 10 ⁸ (m ² s ⁻¹)	500 ~ 5000	2 ~ 20	10 ~ 500
拡散係数 (m ² s ⁻¹)	1 × 10 ⁻⁵ ~ 4 × 10 ⁻⁵	5 × 10 ⁻⁸ ~ 4 × 10 ⁻⁷	2 × 10 ⁻¹⁰ ~ 2 × 10 ⁻⁹
熱伝導率 × 10 ³ (W m ⁻¹ K ⁻¹)	4 ~ 30	20 ~ 150	80 ~ 250

- ◆ 気体と液体の中間の性質を有する
- ◆ 動粘度(粘度/密度)が小さく, 対流しやすい(熱移動・物質移動が速い)

超臨界二酸化炭素の溶解度パラメータ



$$\delta_i = \sqrt{\frac{\Delta U_i^{\text{vap}}}{v_i}} = \sqrt{\frac{\Delta H_i^{\text{vap}} - RT}{v_i}}$$

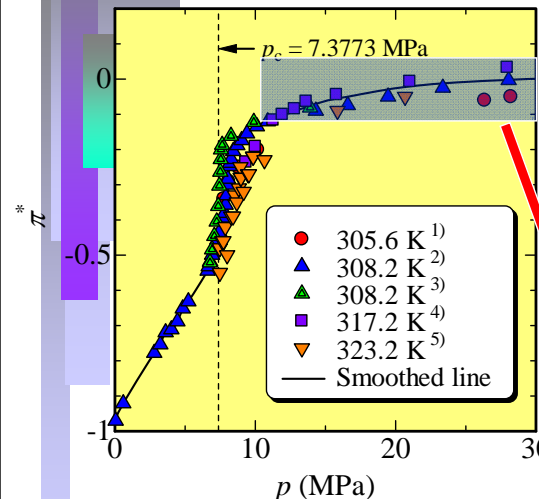
v_i : モル体積
 ΔH_i^{vap} : 蒸発熱

liquid	solubility parameter (J ^{1/2} cm ^{-3/2})
<i>n</i> -pentane	14.4
<i>n</i> -hexane	14.9
<i>n</i> -octane	15.3
cyclohexane	16.8
ethyl benzene	18.0
toluene	18.3
benzene	18.7
chloroform	18.7
acetone	19.7
<i>n</i> -propyl alcohol	24.9
ethyl alcohol	26.2
methyl alcohol	29.7
water	48.0

八木康彦; 博士学位論文(東北大学) (1993)

Barton; "Handbook of Solubility Parameters", CRC Press (1983)

超臨界二酸化炭素の溶媒分極率/極性パラメータ



π^* : Kamlet-Taftパラメータ
溶媒のソルバトクロミック効果による
プローブ分子の π - π^* 遷移(第一励起エネルギー)に起因したパラメータ
→ 溶媒の極性の強さを表す

ソルバトクロミズム: 溶媒の種類(極性)により色に変化する現象

liquid	π^* (-)	liquid	π^* (-)
<i>n</i> -hexane	-0.08	benzene	0.59
<i>n</i> -heptane	-0.08	acetonitrile	0.75
acetone	0.71	nitrobenzene	1.01
ethyl acetate	0.55	ethanol	0.54
cyclohexane	0.00	methanol	0.60
acetic acid	0.64	ethylene glycol	0.92
toluene	0.54	water	1.09

- M.E. Sigman, J.E. Leffler, J. Org. Chem., 52, 3123 (1987),
- M. Maiwald et al., Ber. Bunsenges. Phys. Chem., 102, 960 (1998),
- R.D. Smith et al., J. Phys. Chem., 91, 3059 (1987),
- C.R. Yonker, R.D. Smith, J. Phys. Chem., 92, 2374 (1988),
- C.R. Yonker et al., J. Phys. Chem., 90, 3022 (1986)

晶析溶媒としての超臨界二酸化炭素の利点

自然対流が大きいので境界膜が薄くなる

結晶

境界膜

溶質濃度分布

バルク

溶質濃度を温度・圧力で自由かつ大きく変化(調節)可能
→ 過飽和度の制御
・物質移動速度の制御

温度分布

結晶表面からの結晶化熱の放出速度が大きい

結晶表面

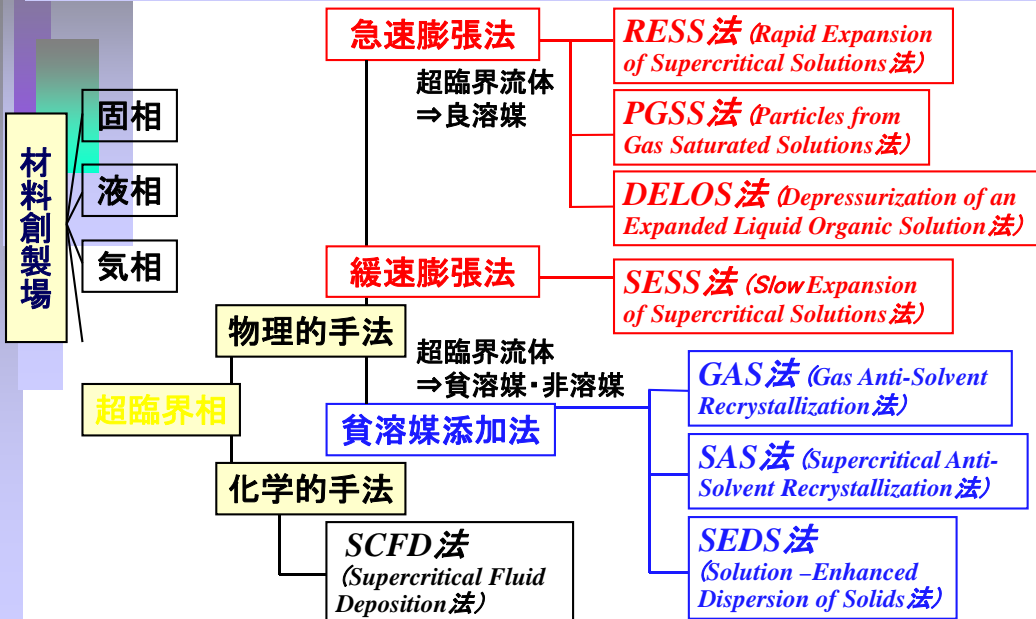
材料創製への超臨界二酸化炭素の利用

材料創製に着目した超臨界二酸化炭素の溶媒特性とは？

- ◆ 温度・圧力の変化により結晶化成分の溶解度、つまり核発生・結晶成長の推進力である「**過飽和度**」を精密に制御可能であり、さらに臨界点近傍では大きく変化させることも可能
- ◆ **表面張力が無い** → マイクロ・ナノ空間への高い浸透性
・超臨界CO₂中の晶析溶媒利用 → 溶媒除去に伴う凝集防止
- ◆ 二酸化炭素(溶媒)－溶質間の相互作用を圧力変化により迅速(瞬時)に調整可能 → 急激な素子(分子)化が可能
- ◆ 減圧操作のみにより溶媒と溶質の完全分離が可能
→ 固液分離工程・残留溶媒の問題の解消
- ◆ **生体調和型溶媒・環境調和型溶媒** → **グリーンテクノロジー**

ボトムアップ型マテリアルデザイン場として期待

超臨界二酸化炭素を利用した材料創製技術



超臨界二酸化炭素を晶析溶媒として利用したら何ができるか ー応用例ー

Racemic ibuprofen particles produced by the RESS in this work ($d_m = 270 \text{ nm}$)

薬物の微粒子創製(イブプロフェン)

Pentacene(100nm)
SiO₂(65nm)
Si substrate

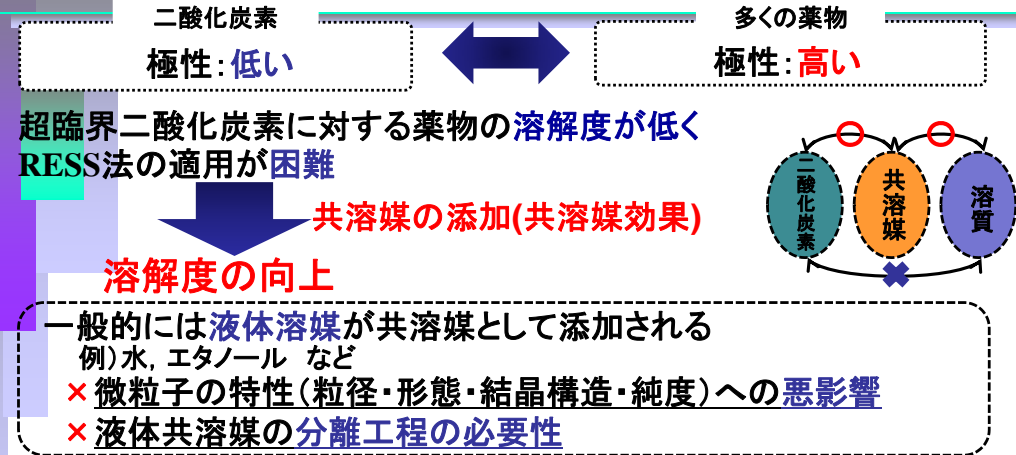
有機薄膜創製(ペンタセン)

化粧品の複合粉体創製(花王(株)HPより)

微細空間への分子の埋込(東大・霜垣研)

超臨界溶体急速膨張 (RESS) 法 による有機ナノ粒子創製に対する 固体共溶媒効果の有用性

固体共溶媒を利用したRESS法 (RESS-SC法)



固体共溶媒を利用したRESS法が提案されている*)

RESS with Solid Cosolvent (RESS-SC)法

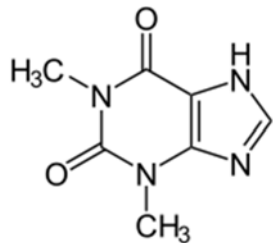
*) R.Thakur, R.B.Gupta, *Ind.Eng.Chem.Res.*, 44, 7380 (2005)

Details of Experiments (1) –A solvent and a solute–

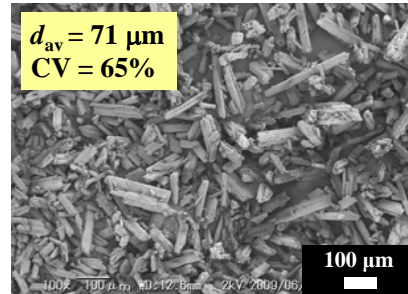
Solvent : Carbon Dioxide (purity: 99.99%)
(Showa Denko Gas Products Co., Ltd.)

Solute : Theophylline (purity: 99%)
(Wako Pure Chem. Ind., Ltd.)
($C_7H_8N_4O_2$, $M_w = 180.165$, $T_m = 546$ K,
Vapor pressure = 1.96×10^{-8} mmHg at 298 K)

The efficacy: Bronchodilation
→ Use to treat bronchitis and
bronchial asthma.



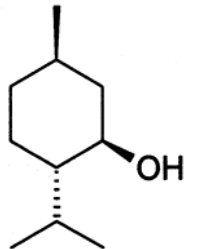
Chemical structure of original theophylline



SEM photomicrograph of
original theophylline

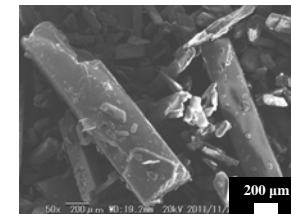
Details of Experiments (2) –Cosolvents–

Cosolvent (1) : L-Menthol (purity: 99%)
(Tokyo Chemical Industry Co., Ltd.)
($C_{10}H_{20}O_2$, $M_w = 156.27$, $T_m = 316$ K,
Vapor pressure = 3.23×10^{-2} mmHg at 298 K)

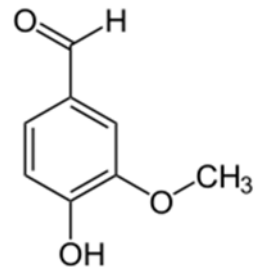


Chemical structure of L-menthol

Cosolvent (2) : Vanillin (purity: 99%)
(Sigma-Aldrich)
($C_8H_8O_3$, $M_w = 152.15$, $T_m = 354.7$ K,
Vapor pressure = 1.94×10^{-3} mmHg at 298 K)



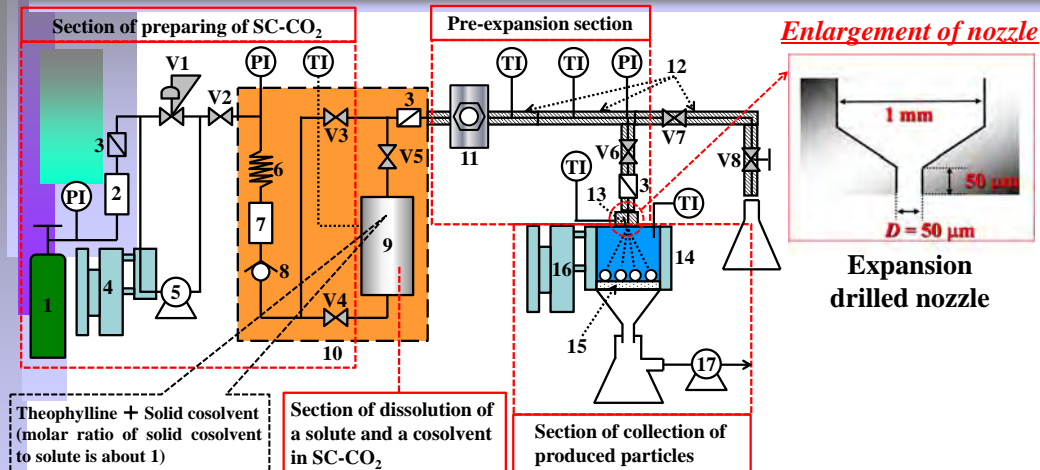
SEM photograph of vanillin



Chemical structure of vanillin

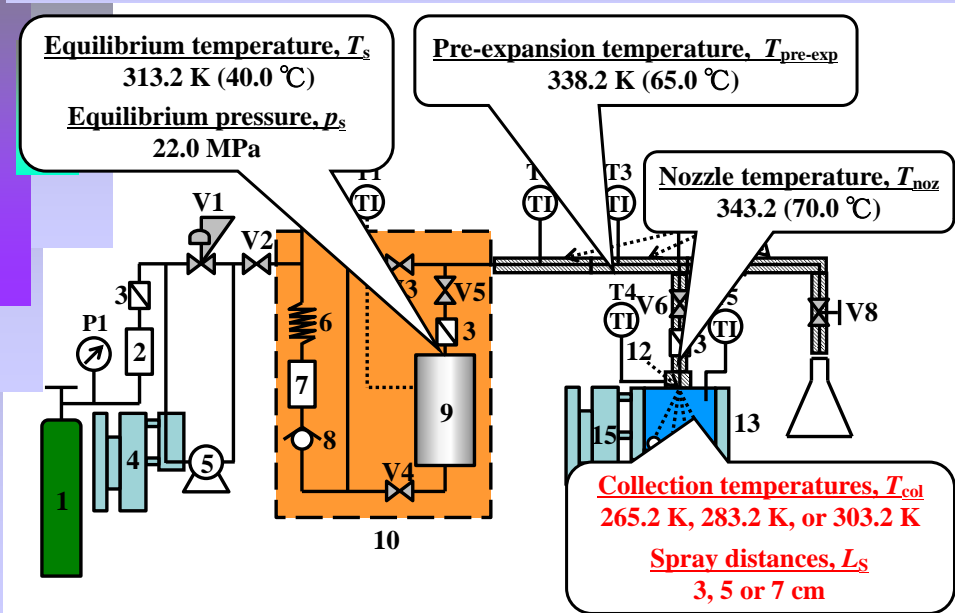
Details of Experiments (3)

-Schematic Diagram of Experimental Setup-



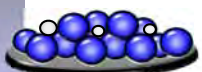
- | | | | |
|-----------------------|---------------------------|----------------------------|---------------------------|
| 1. gas cylinder | 7. buffer | 13. expansion nozzle | V2-V7. stop valves |
| 2. Dryer | 8. stopper | 14. collection chamber | V8. metering valve |
| 3. Filter | 9. equilibrium cell | 15. membrane filter | PI. pressure indicator |
| 4. cooling unit | 10. thermostated air bath | 16. temperature controller | TI. temperature indicator |
| 5. high-pressure pump | 11. view cell | 17. vacuum pump | |
| 6. preheater | 12. heater | | |

Experimental Conditions



Analytical Methods

Production of particles using RESS-SC



Mixture of theophylline particles and particles of a solid cosolvent

- : theophylline particles
- : particles of a solid cosolvent

Separation of theophylline particles from the mixture of theophylline and vanillin
→ Sublimation of vanillin particles



The particles were dried in a vacuum dryer (temperature: 313.2 K, pressure: 0.006 MPa, time: 24 h) to remove the solid cosolvent using sublimation.

Crystal Structure and Melting Points

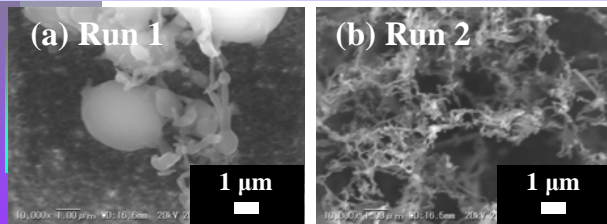
- ◆ X-ray Diffraction (XRD) (Rigaku MiniFlexII)
- ◆ Fourier transform infrared spectrophotometry (FT-IR) (Jasco, FT/IR-4200)
- ◆ Differential Scanning Calorimetry (DSC) (Rigaku Thermo plus EVO/DSC8230)

Particle Sizes, Particle Size Distributions and Morphology

- ◆ Scanning electron microscope (SEM) (Keyence VE-9800)
- Particle size distribution (PSD) was determined based on the Ferret diameter using an image analysis that is the counting at least 800 particles from SEM photomicrographs.

Experimental Results (1)

-L-Menthol Used as the Solid Cosolvent-

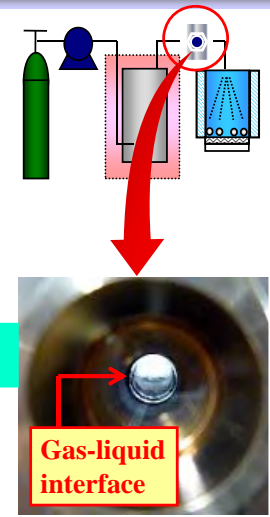


SEM photographs of theophylline particles produced by the RESS-SC process using L-menthol ($T_s = 338.2$ K, $p_s = 14.0$ MPa, $T_{pre-exp} = 338.2$ K, $T_{noz} = 343.2$ K, $T_{col} = 273.2$ K, $L_s = 3$ cm)

A liquid phase appeared at the pre-expansion section.

Effect on crystallization

Lack of reproducibility of crystal properties such as morphology and size of the theophylline particles.

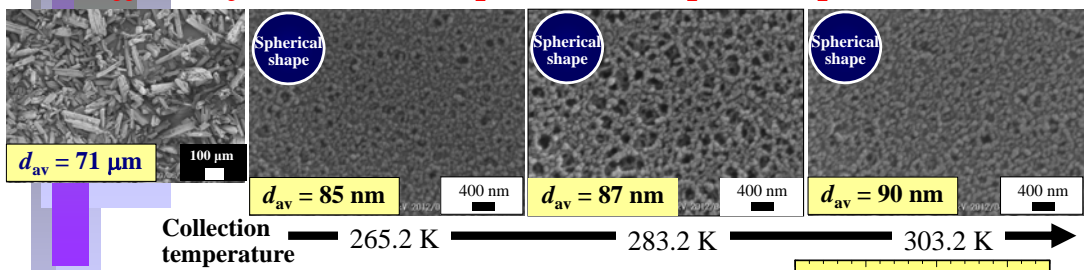


L-Menthol is unsuitable for a solid cosolvent in the present conditions.

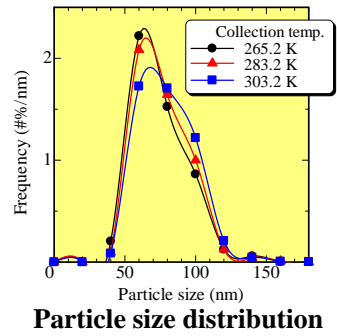
Experimental Results (2)-1

-Vanillin Used as the Solid Cosolvent-

Effects of collection temperatures on particle production



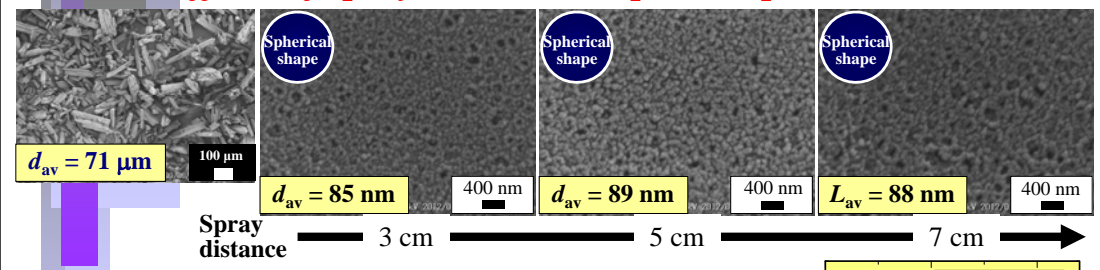
- ◆ The particle size of the primary particles was very small (the mean size: about 85 nm) with the narrow particle size distribution (CV: about 21%), which was 800 times smaller than that of the original sample.
- ◆ The collection temperature has negligible effects on the particle sizes.



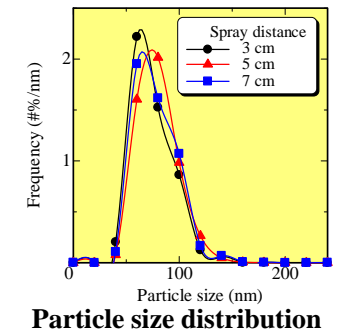
Experimental Results (2)-2

-Vanillin Used as the Solid Cosolvent-

Effects of spray distances on particle production



- ◆ The particle size of the primary particles was very small (the mean size: about 87 nm) with the narrow particle size distribution (CV: about 21%), which was 800 times smaller than that of the original sample.
- ◆ The spray distance has negligible effects on the particle sizes.



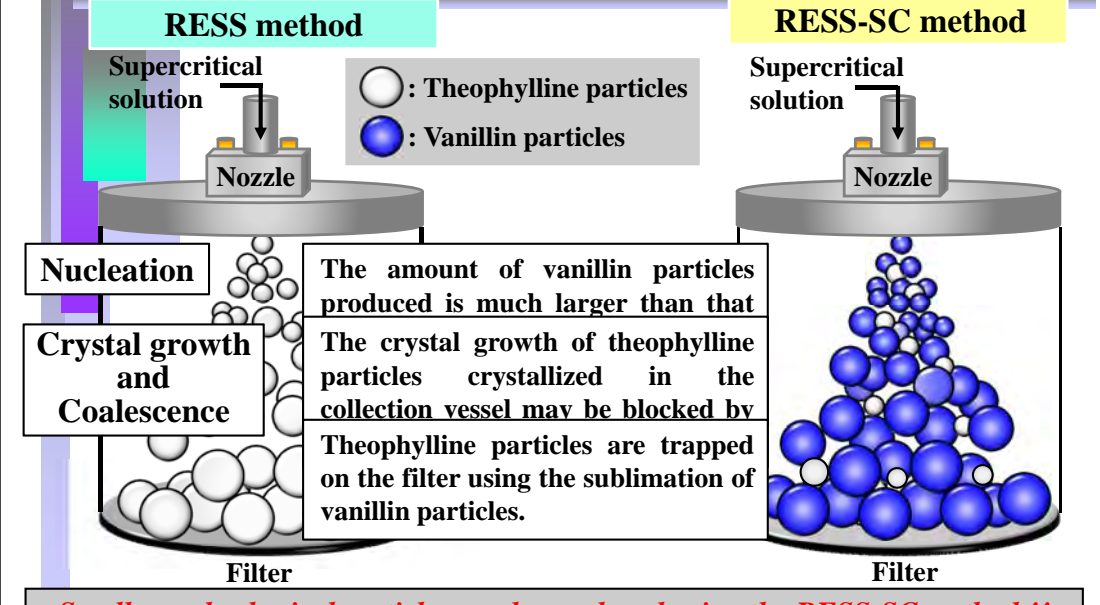
Discussion (1)

-Comparison between RESS method and RESS-SC method-

	RESS method ²⁾	RESS-SC method
Experimental conditions	$T_s = 313.2 \text{ K}$ $p_s = 22.0 \text{ MPa}$ $T_{\text{pre-exp}} = 338.2 \text{ K}$ $T_{\text{noz}} = 343.2 \text{ K}$ $T_{\text{col}} = 273.2 \text{ K}$ $L_s = 3 \text{ cm}$	
Particle morphology	Spherical and Columnar	Spherical
Mean particle size	235 nm	around 3 times smaller → 85 nm
Effects of collection temperature	Collection temperature has negligible effects on the particle size.	
Effects of spray distance	Particle sizes increase with increasing spray distance.	Spray distance has negligible effects on the particle size.

Discussion (2)

-Crystallization Mechanism of RESS-SC Method-



Nucleation
Crystal growth and Coalescence

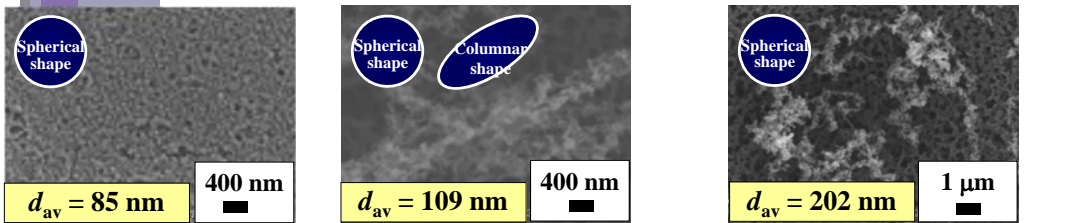
The amount of vanillin particles produced is much larger than that of theophylline particles. The crystal growth of theophylline particles crystallized in the collection vessel may be blocked by theophylline particles. Theophylline particles are trapped on the filter using the sublimation of vanillin particles.

Smaller and spherical particles can be produced using the RESS-SC method !!

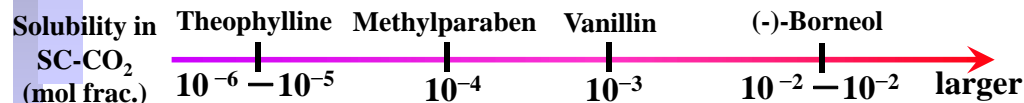
2) J. Sakabe et al., Proc. 10th Int. Symp. Supercrit. Fluids (ISSF2012), P-1505 (2012)

-Vanillin, (-)-Borneol and Methylparaben Used as the Solid Cosolvent-

Effects of solid cosolvents on particle production



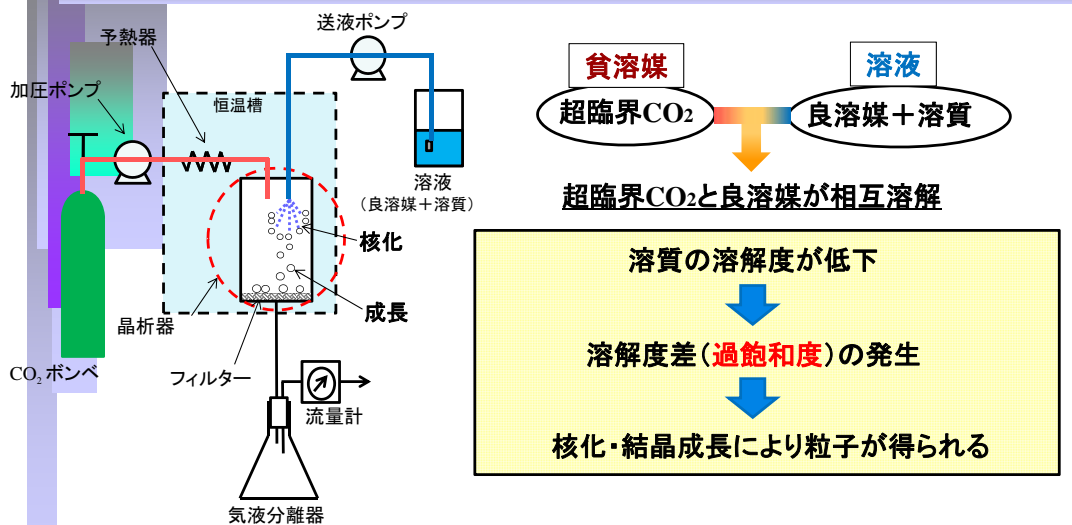
Cosolvent: Vanillin Cosolvent: (-)-Borneol Cosolvent: Methylparaben



- ◆ We have been studying effects of several solid cosolvents on the particle production of theophylline using the RESS-SC technique.
- ◆ Effects of a solid cosolvent on the particle production using the RESS-SC technique depend on the kind of the compound used as the solid cosolvent.
- ◆ We will elucidate cosolvent effects and crystallization mechanism of the RESS-SC technique with some solid cosolvents on the production of organic nanoparticles.

マイクロ空間での
超臨界貧溶媒添加晶析(SAS)法
による有機ナノ粒子創製

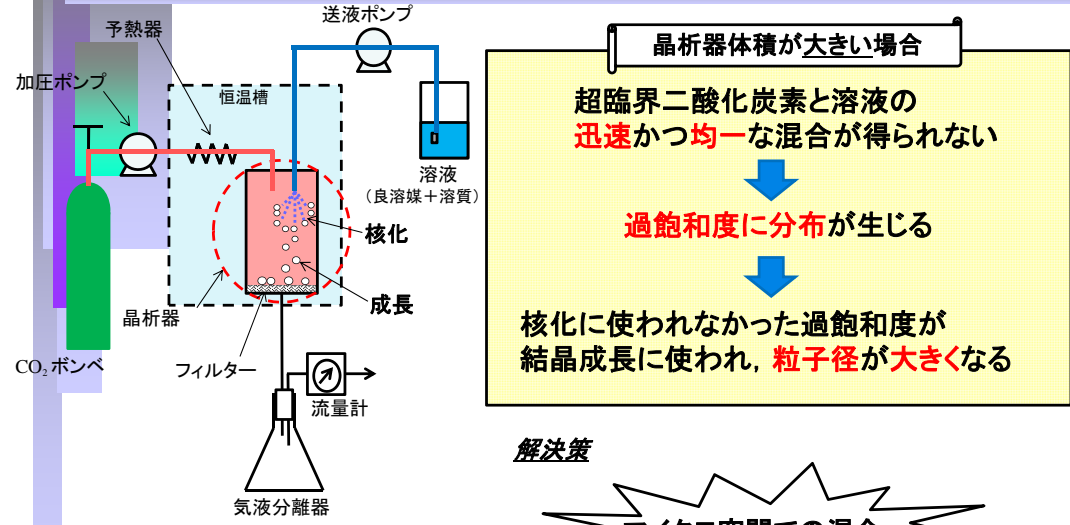
超臨界貧溶媒添加晶析(SAS)法とは



従来のSAS法の装置概略図

※ しかし、従来のSAS法には、晶析器の体積が大きい場合問題点がある

従来のSAS法による微粒子創製手法

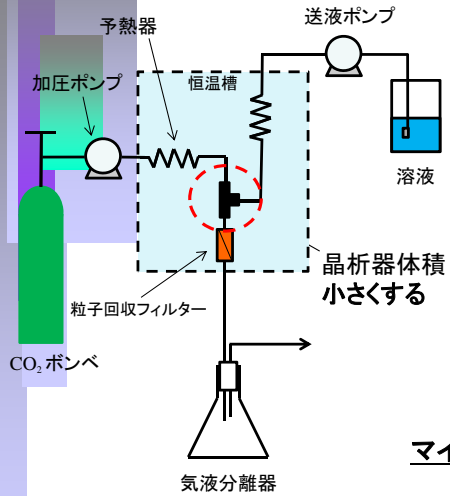


従来のSAS法の装置概略図

解決策



SAS法へのマイクロデバイスの導入



マイクロ空間での晶析

超臨界二酸化炭素と溶液が
迅速かつ均一に相互溶解

↓

短時間で過飽和度が付与され、
過飽和度の分布が**均一**になるため
迅速に核化が進行

↓

結晶成長に使われる過飽和度が小さく
成長を抑制することができる

マイクロデバイスの利点

- 乱流場を設定しやすい
- 温度制御が容易
- ナンバリングアップによる生産量の増大が容易

マイクロデバイスを用いた
SAS法の装置概略図

対象系

試料

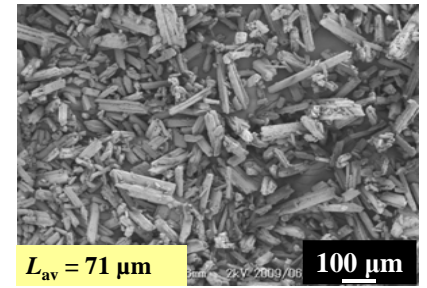
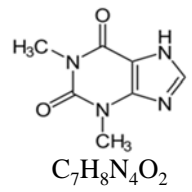
貧溶媒 二酸化炭素

昭和電工ガス
プロダクツ(株)
純度99.99%
 $T_c = 31.1\text{ }^\circ\text{C}$
 $p_c = 7.38\text{ MPa}$



溶質 テオフィリン

和光純薬工業(株)
純度99%
 $M_w = 180.16$
 $T_m = 546\text{ K}(273\text{ }^\circ\text{C})$
蒸気圧: $1.96 \times 10^{-8}\text{ mmHg}(25\text{ }^\circ\text{C})$



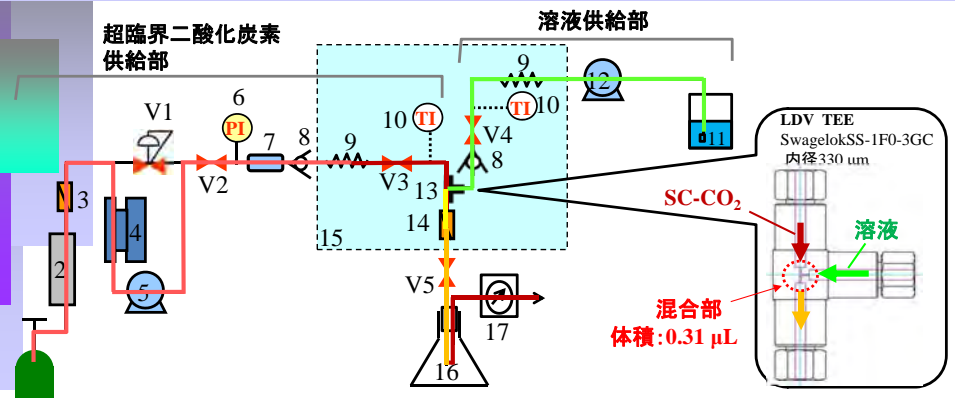
良溶媒

エタノール + ジクロロメタン

関東化学(株) 純度99.5%
関東化学(株) 純度99.5%

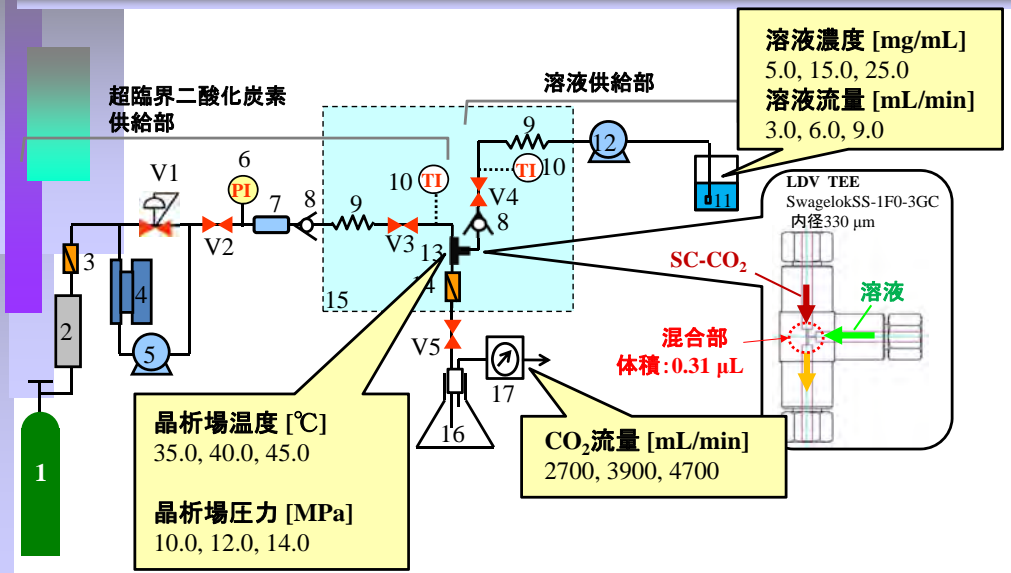
体積比 1:1

実験装置および実験手法



- | | | |
|------------------------|-------------------|----------------|
| 1. CO ₂ ポンプ | 8. 逆止弁 | 15. 空気恒温槽 |
| 2. 乾燥管 | 9. 予熱器 | 16. 気液分離器 |
| 3. フィルター | 10. デジタル温度計 | 17. 乾式ガス流量計 |
| 4. 冷却器 | 11. 溶液 | V1. 背圧弁 |
| 5. 加圧ポンプ | 12. 送液ポンプ | V2-V4. ストップバルブ |
| 6. 圧力表示計 | 13. 晶析器(マイクロデバイス) | V5. 流量調節バルブ |
| 7. 緩衝容器 | 14. 粒子回収用フィルター | |

実験条件



溶液濃度 [mg/mL]
5.0, 15.0, 25.0
溶液流量 [mL/min]
3.0, 6.0, 9.0

晶析場温度 [°C]
35.0, 40.0, 45.0

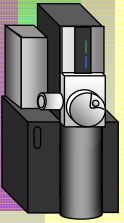
晶析場圧力 [MPa]
10.0, 12.0, 14.0

CO₂流量 [mL/min]
2700, 3900, 4700

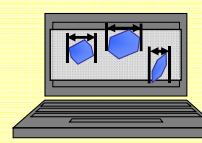
微粒子の分析方法

画像解析

走査型電子顕微鏡 (SEM) (KEYENCE, VE-9800)

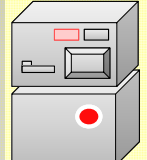


平均粒径 (フェレ径)・
粒度分布の測定
結晶形態評価




結晶構造解析

X線回折装置 (XRD) (Rigaku, Miniflex II)



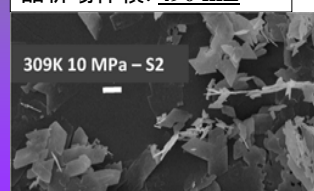
多形評価



実験結果 - 従来のSAS法との比較 -

従来のSAS法¹⁾

晶析場体積: 490 mL



309K 10 MPa - S2

$d_m = 66 \mu\text{m}$ 20 μm

溶質: テオフィリン 貧溶媒: 超臨界二酸化炭素
良溶媒: エタノール-ジクロロメタンの混合溶媒 (体積比: 1)

マイクロデバイス化

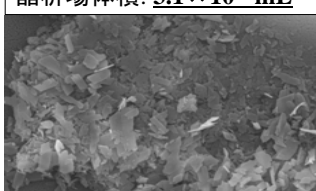


1/18程度小さい
粒子が得られた

マイクロ空間における晶析の
有用性が確認された

本研究

晶析場体積: 3.1×10^{-4} mL



$d_m = 3.65 \mu\text{m}$ 10.0 μm

レイノルズ数(Re [-]): 6100(乱流)

晶析場圧力 10.0 MPa
晶析場温度 35.0 °C
貧溶媒流速 3100 mL min⁻¹
溶液流速 3.0 mL min⁻¹
溶液濃度 25.0 mg mL⁻¹

1) C. Roy et al., J. Supercrit. Fluids, 57, 267-277 (2011)

実験結果 - 晶析場温度の影響 -

★代表的なSEM写真

晶析場温度 35.0 °C (Re = 6100) (晶析場圧力: 10.0 MPa, 溶液濃度: 5.0 mg mL⁻¹)

原料粒子

CV値 = 66.3%

$d_m = 71 \mu\text{m}$ 100 μm

CV値 = 61.6%

$d_m = 4.01 \mu\text{m}$ 10.0 μm

CV値 = 61.8%

$d_m = 4.69 \mu\text{m}$ 10.0 μm

$d_m = 3.45 \mu\text{m}$ 10.0 μm

40.0 °C (Re = 8960) 45.0 °C (Re = 11250)

晶析場温度の影響

温度上昇に伴い
粒子径が減少

- レイノルズ数の上昇に基づく大きな乱流効果で超臨界二酸化炭素-溶液のより良好な混合が達成
- 結晶化熱の放熱過程が抑制

結晶形態が変化
針状・柱状 → 板状

実験結果 - 溶液濃度の影響 -

★代表的なSEM写真

溶液濃度 5.0 mg mL⁻¹ (晶析場温度: 35.0 °C, 晶析場圧力: 10.0 MPa, 溶液濃度 5.0 mg/mL)

原料粒子

CV値 = 66.3%

$d_m = 71 \mu\text{m}$ 100 μm

CV値 = 57.6%

$d_m = 3.39 \mu\text{m}$ 10.0 μm

CV値 = 52.0%

$d_m = 4.69 \mu\text{m}$ 10.0 μm

$d_m = 3.65 \mu\text{m}$ 10.0 μm

15.0 mg mL⁻¹ 25.0 mg mL⁻¹

溶液濃度の影響

溶液濃度増加に伴い
(5.0 ⇒ 15.0, 25.0 mg mL⁻¹)
粒子径が減少

過飽和度の増加に伴い
粒子径が減少

結晶形態が変化
針状・柱状 → 板状

実験結果－微粒子の結晶構造－

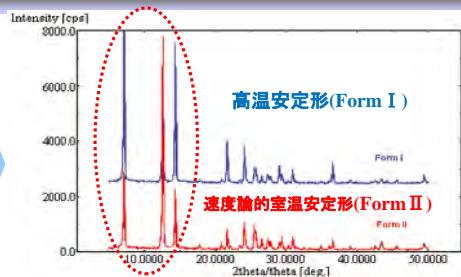
Form I 高温安定形

Form II 速度論的室温安定形

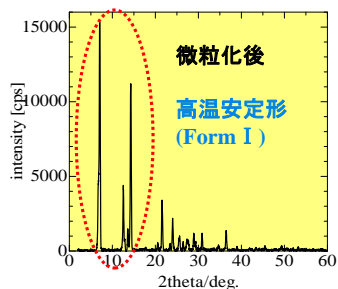
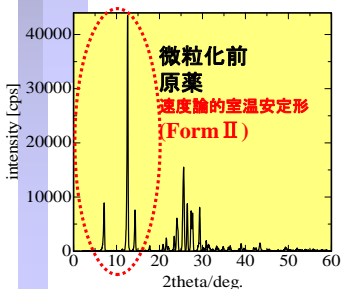
Form III 準安定形

Form IV 熱力学的室温安定形

Form M 一水和物



テオフィリンのForm I とForm IIのXRD回折パターン^{2,3)}



微粒化に伴い、
Form II から
Form I へ
多形転移

2) L. Seton et al., *Cryst. Growth Des.*, **10**, 3879 (2010), 3) D. Khamar et al., *Cryst. Growth Des.*, **12**, 109 (2012)

実験結果のまとめ

諸操作因子の影響

- ◆ 晶析場温度・圧力
- ◆ 溶液濃度・流量
- ◆ CO₂流量



レイノルズ数・過飽和度の変化

テオフィリン粒子の平均粒径に影響を与える因子

過飽和度の増加により核化が優先的に起き、平均粒径が減少するという一般的な結晶成長理論が成立

レイノルズ数の増加による乱流効果で超臨界二酸化炭素と溶液の混合が促進され平均粒径が減少

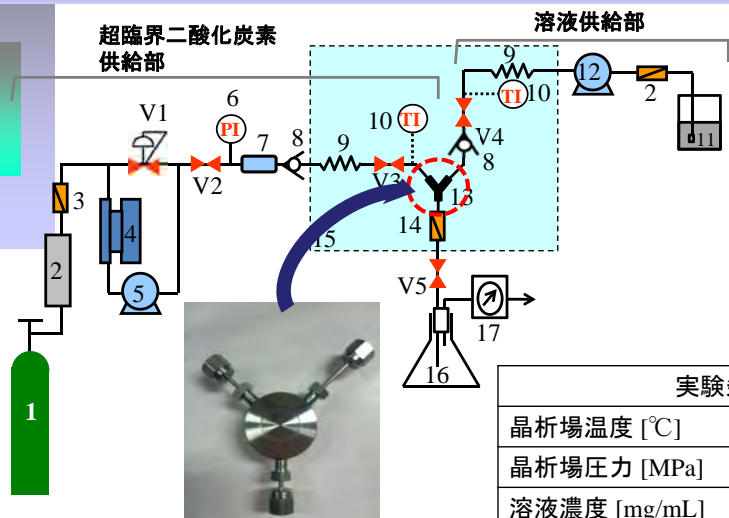
結晶形態

針状・柱状 → 板状

結晶構造

速度論的室温安定形 → 高温安定形

実験装置－Y形晶析器の導入－



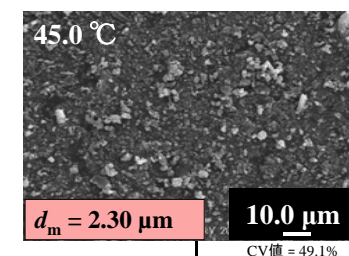
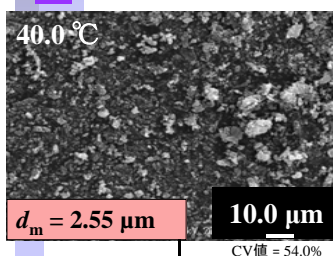
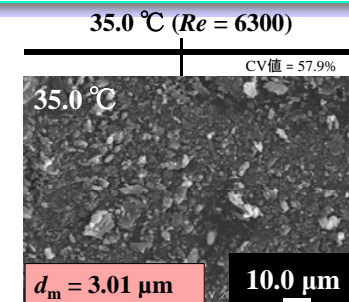
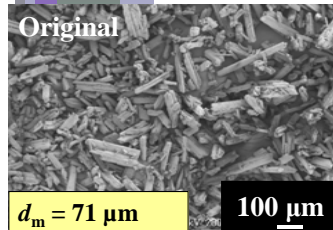
VALCO製Y字継手
0.25 mm:MY1CS6

実験条件	
晶析場温度 [°C]	35.0, 40.0, 45.0
晶析場圧力 [MPa]	10.0
溶液濃度 [mg/mL]	5.0
溶液流量 [mL/min]	3.0

良溶媒: EtOH + DCM

Y形晶析器の実験結果－晶析場温度の影響－

★ Y形晶析器の結果



晶析場温度の増加に伴い
平均粒径が減少

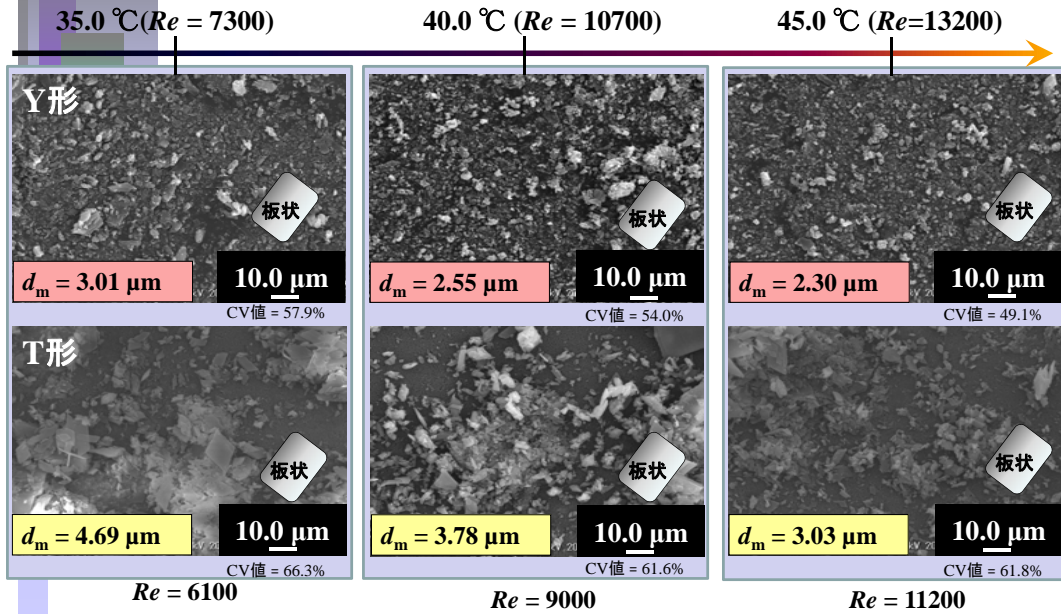
レイノルズ数の増加に伴い、
CO₂と溶液の混合が促進。

結晶化熱の伝熱過程が
抑制され、結晶成長が
防止された。

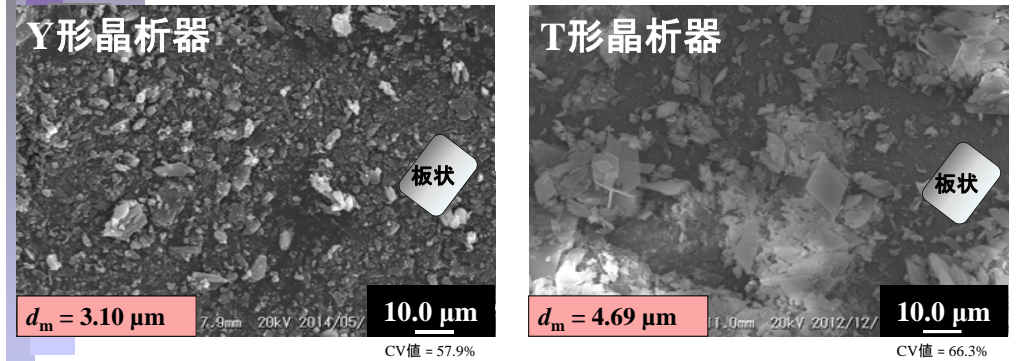
40.0 °C (Re = 10700)

45.0 °C (Re = 13200)

Y形晶析器とT形晶析器の実験結果の比較



Y形晶析器の実験結果—晶析場温度の影響—



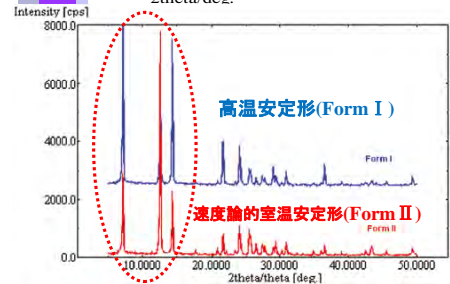
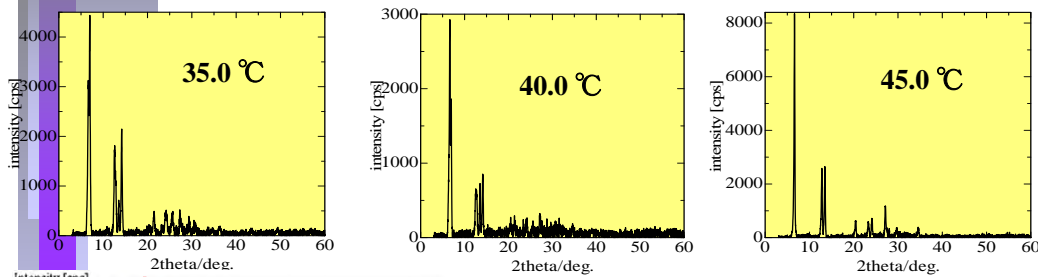
晶析器の形状をY形に変えたことにより平均粒径とCV値が減少



超臨界二酸化炭素と溶液の衝突角度が変化することにより、T形に比べY形の方が、良好な混合が得られたのでは？

Y形晶析器の実験結果—微粒子の結晶構造—

微粒化後のテオフィリン粒子のXRD結果



微粒化に伴い、速度論的室温安定形から高温安定形へ多形転移

↓

Y形晶析器を用いた場合においても得られる粒子の結晶多形はT形と同じ

テオフィリンのForm I とForm II のXRD回折パターン^{2,3)}

2) L. Seton et al., Cryst. Growth Des., 10, 3879 (2010), 3) D. Khamar et al., Cryst. Growth Des., 12, 109 (2012)

おわりに

超臨界二酸化炭素を利用した材料創製技術に関する
研究の近年の動向

- 最近の超臨界二酸化炭素を利用した技術に関する研究報告では、50%近くが微粒化・新規材料創製の研究
- 新しい結晶化手法の提案よりも、現在提案されている手法の改良(特に、装置的な改良:例えばノズルの形状や混合方法の改良など) → 特許が多数報告されている
- 現在提案されている微粒化法(RESS法やSAS法など)の特性解明に関する研究が少ない。
- 対象物が多岐にわたっている(医薬品、染料・塗料、化粧品、電子材料などへの応用)

超臨界二酸化炭素を利用した材料創製技術 ➡ 大きな可能性!
非常に新しい手法実用化例は少ない(花王は実用化済)

超臨界二酸化炭素を利用した有機材料創製技術の大きな問題点

- ◆ 超臨界二酸化炭素+有機化合物系の相平衡(溶解度・気液固三相平衡データ)の不足
- ◆ 超臨界二酸化炭素が関与した場における結晶化現象が未解明
- ◆ 超臨界二酸化炭素のみで材料創製可能であるRESS法は、超臨界二酸化炭素に溶解する物質のみが対象。RESS-SC法, SAS法およびPGSS法の可能性が注目される!
- ◆ 装置のスケールアップや連続操作が課題 → 改良法の提案

全ての系(有機物)・技術への超臨界二酸化炭素利用は不可能であり、適した系・技術の探索が必要不可欠!

超臨界二酸化炭素利用のストラテジー

有機溶媒類似の
特性

- 地球環境への負荷小
- 高い安全性
- 溶媒除去工程の省略可

温度、圧力による
溶媒特性の制御

- 溶解度の制御
- 高過飽和度付与可能
- プロセスの単純化

溶媒和の影響小

- 反応速度増大
- 有機物の導入

高拡散性・低粘性

- 多孔質体への拡散
- 溶液との混合性向上
- 材料創製時間の短縮

気液界面の消失

- 収縮の抑制
- 均一材料創製場の生成
- ナノ・マイクロ空間への応用

環境調和型プロセス
の構築

既存の手法でできることを代替する
代替溶媒プロセスの開発

+

新規な手法としての
利用

既存の手法では困難なこと、または
問題が生じるプロセスの構築

応用

ファインケミカル分野
MEMS分野
高分子加工分野

Thank you for your
kind attention !

Dr. Hirohisa UCHIDA, Associate Professor
Department of Chemistry and Material Engineering,
Shinshu University
17-1 Wakasato-4, Nagano-city, Nagano, 380-8553 JAPAN
TEL&FAX : (81)-26-269-5402
E-mail : uchida@shinshu-u.ac.jp